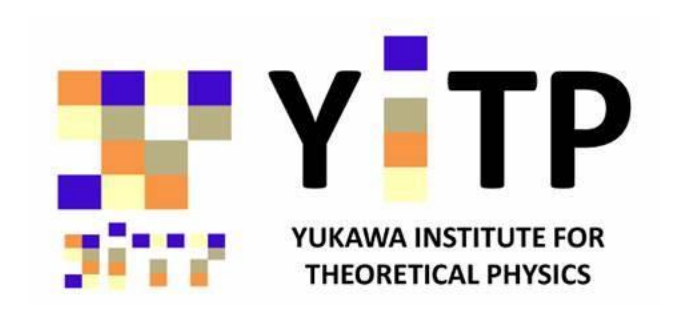
AdS₃ traversable wormholes via

non-Hermitian interface CFTs



川本 大志 基礎物理学研究所 D3



@熱場の量子論2025

Based on work with

- N.Nakamura, R.Maeda and T.Takayanagi, arXiv: **2502.03531**. published in JHEP
- J. Harper, N.Nakamura, R.Maeda and T.Takayanagi on-going

Review of AdS/CFT and and Motivation for our work

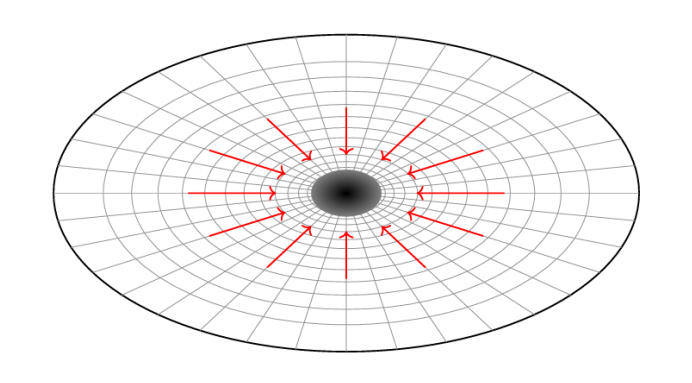
AdS/CFT 対応:量子重力=量子多体系

['t Hooft'93, Suskind'94, Maldacena '97]

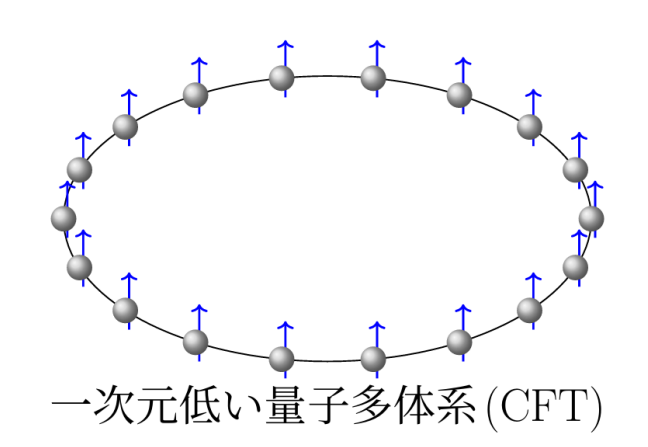
(d+1) dim. AdS量子重力理論



d dim. 強結合カオス的量子多体系



理論が等価



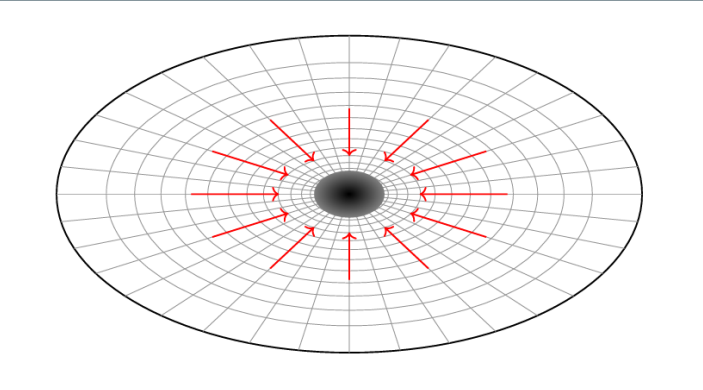
AdS/CFT 対応:量子重力=量子多体系

['t Hooft'93, Suskind'94, Maldacena '97]

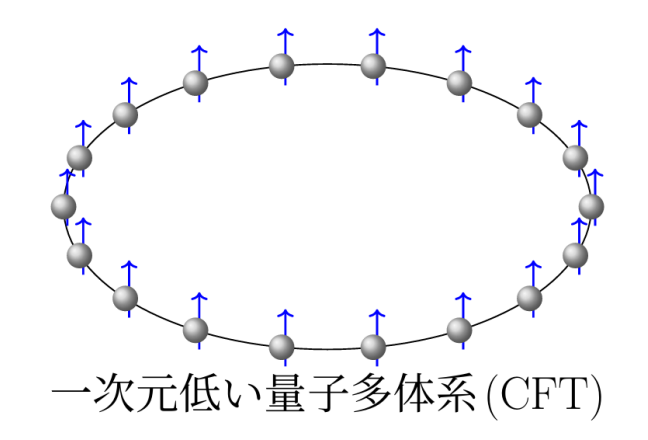
(d+1) dim. AdS量子重力理論



d dim. 強結合カオス的量子多体系



理論が等価



ブラックホールは熱力学エントロピー を持ち、ホライズンの面積に比例

$$S_{BH} = \frac{\text{Area}}{4G_N}$$

d+1 dim. AdS @isometry SO(d,2)

Extensiveな熱力学エントロピー

d次元共形対称性 SO(d,2)

ブラックホール in AdS/CFT 対応

✔AdS/CFT対応において

AdS ブラックホール= CFTの熱平衡状態

✓特に[Israel, Umezawa, Takahashi, Maldacena]

最大拡張されたブラックホール=Thermofield double state

$$\operatorname{Tr} \left[O_1 e^{-\beta H} O_2 \right] = \langle \operatorname{TFD}(\beta) | O_{(1)} O_{(2)} | \operatorname{TFD}(\beta) \rangle$$

$$e^{-\beta H} \stackrel{+}{\Longrightarrow} \stackrel{\mathcal{C}}{\Longrightarrow} |TFD\rangle$$

ブラックホール in AdS/CFT 対応

✓AdS/CFT対応において

AdS ブラックホール= CFTの熱平衡状態

✓特に[Israel, Umezawa, Takahashi, Maldacena]

最大拡張されたブラックホール=Thermofield double state

$$\operatorname{Tr} \left[O_1 e^{-\beta H} O_2 \right] = \langle \operatorname{TFD}(\beta) | O_{(1)} O_{(2)} | \operatorname{TFD}(\beta) \rangle$$

$$H_1 \cong H_2$$
 H_1 $H_2 \text{ AdS/CFT}$
$$= e^{-i(H_1 + H_2)t} |\text{TFD}(\beta)\rangle$$

エンタングルメントと幾何 in AdS/CFT 対応

重力の幾何構造=量子状態のエンタングルメント構造

✔Holographic entanglement 公式[Ryu-Takayanagi;'06]

$$S_A[\rho] = \operatorname{Min}_{\Gamma_A} \operatorname{Ext}_{\partial \Gamma_A = \partial A, \Gamma_A \sim A} \left[\frac{\operatorname{Area}[\Gamma_A]}{4G_N} \right].$$

Log scaling in gapless系

[Holzhey, Larsen, Wilczek; '94, Korepin; '04, Calabrese, Cardy; '08]

$$S_A = \frac{c}{3} \log \frac{|A|}{\epsilon_{UV}}$$

AdSのhyperbolicな構造 (similar to MERA) [Swingle; '09]



Figure from 高柳さんのHP ⁷

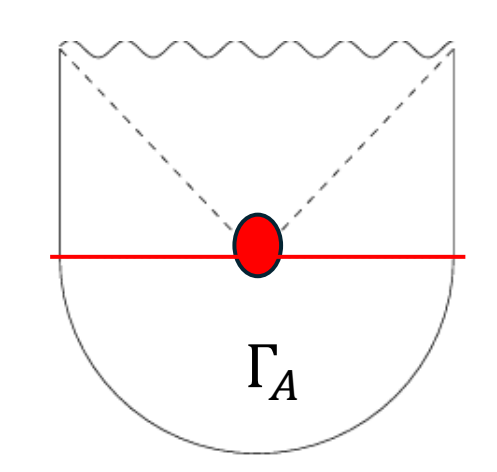
エンタングルメントと幾何 in AdS/CFT 対応

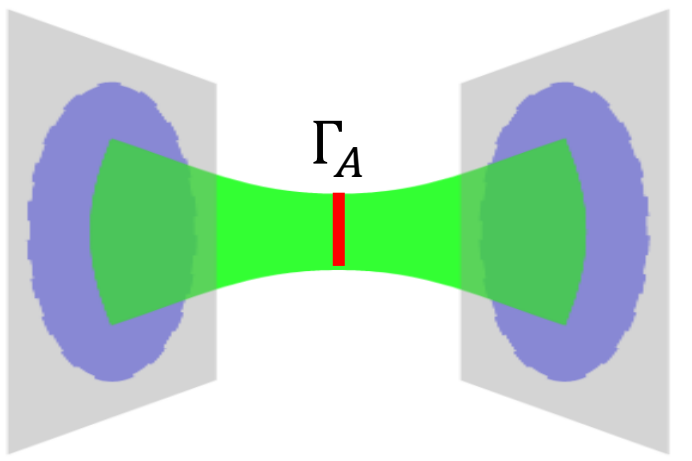
様々な幾何構造=量子状態のエンタングルメント構造

✓ホログラフィックエンタングルメントエントロピー公式[Ryu-Takayanagi;'06]

$$S_A[\rho] = \operatorname{Min}_{\Gamma_A} \operatorname{Ext}_{\partial \Gamma_A = \partial A, \Gamma_A \sim A} \left[\frac{\operatorname{Area}[\Gamma_A]}{4G_N} \right].$$

(例2) TFDのエンタングルメント ← ワームホール(ER bridge) [Raamsdonk; '10]



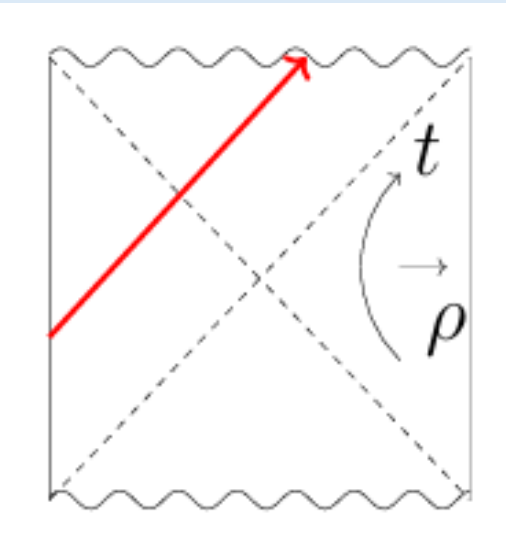


パラダイム:ER (ワームホール)= EPR (エンタングルメント)

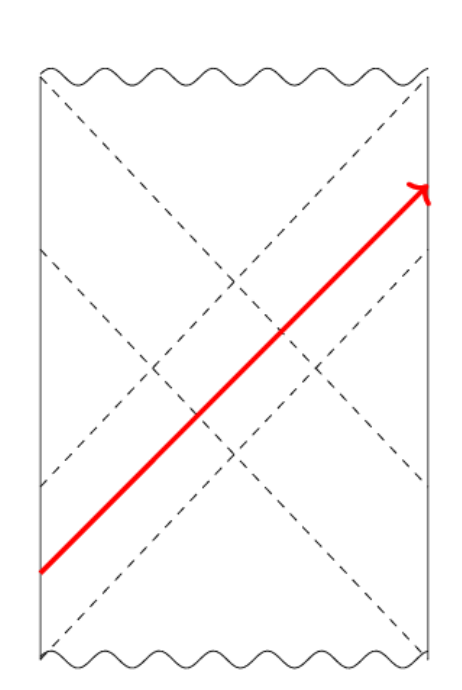
通行可能なワームホール

- ✓重力理論のLorentzianワームホールには
- ①通行可能でない⇒BHのERブリッジ
- ②通行可能
- の二種類がある.
- ✓通行可能なワームホールはAdS/CFT対応に おける量子テレポーテーションなどの実現 などで重要[Gao,Jafferis,Wall]
- ✓しかし、普通のAdS/CFTではエネルギー条件などで通行可能ワームホールは禁止されている





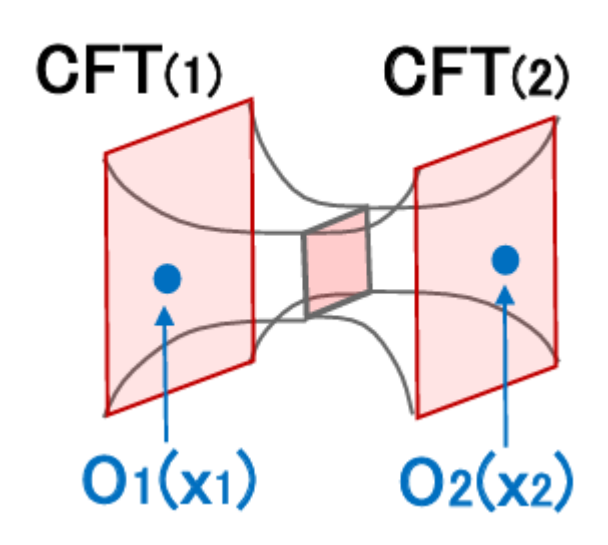




ワームホール in AdS/ CFT :先行研究

✓二つのCFTの間のdouble trace変形

$$H_{\rm int} = \int d^d x \, \mathcal{O}_1(x) \mathcal{O}_2(x)$$



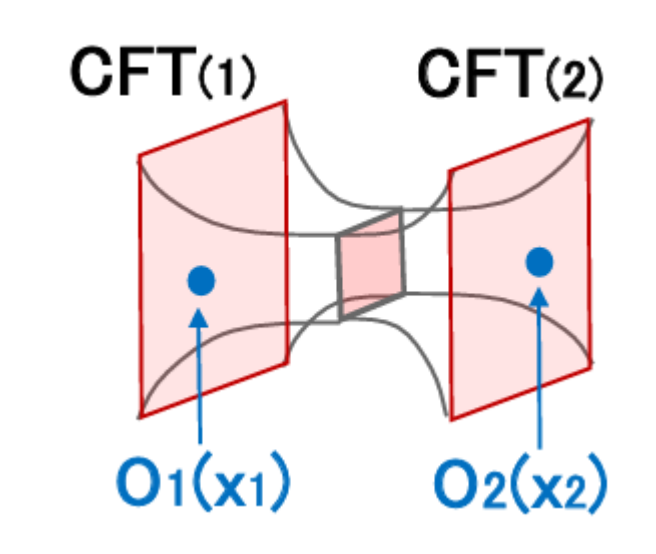
ワームホール in AdS/ CFT :先行研究

✓二つのCFTの間のdouble trace変形

$$H_{\rm int} = \int d^d x \, \mathcal{O}_1(x) \mathcal{O}_2(x)$$

- ✓ AdS3 でのはsingle trace light operator [Gao, Jafferis, Wall]
- ⇒境界条件が変化しmixed boundary condition が バルクのCasimirエネルギーを誘導
- →エネルギー条件の破れ
- ⇒バルクの内側でtraversable ワームホールができる

✓SYK/JT (NAdS2) [Maldacena,Qi]



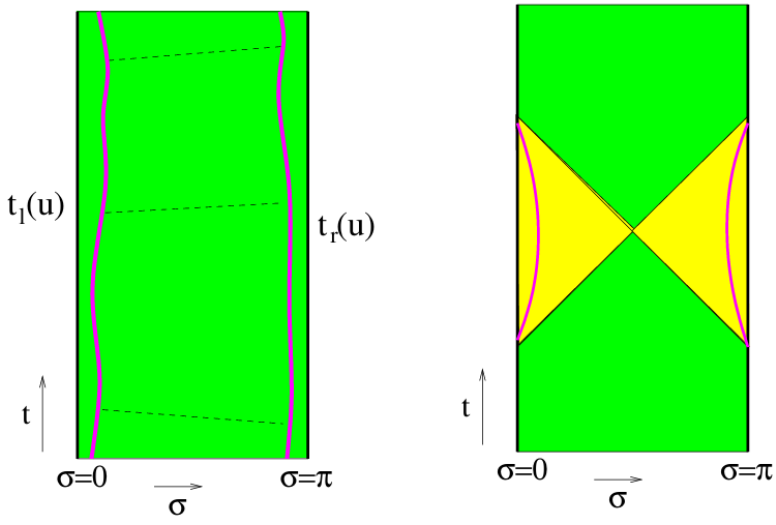


Figure from their papers

Motivation for our work

- ✔先行研究の不満点
- 1. GJW は重力の摂動論= $O(G_N^0)$
- 2. MQ は低次元⇒SYK/JTは高次元のAdS/CFTと若干異なる? =SYKはランダム結合だが高次元CFTはNo

モチベーション

- 2次元CFTの $O(c) = O(1/G_N)$ の具体的な変形により3次元 漸近 AdSにおけるback reactionを伴う通過可能ワームホールを作る
- 通行可能なワームホールと対応するエンタングルメント?

imaginary Janus変形と非エルミートdefect

- TK, Nakamura, Maeda and Takayanagi, arXiv: 2502.03531
- J. Harper, TK, Nakamura, Maeda and Takayanagi on-going

Janus解とinterface CFT

✓Dilaton場を含む3次元AdS重力理論を考える

$$I_{\text{grav}} = \frac{1}{16\pi G_{\text{N}}} \int d^3x \sqrt{g} \left[R[g] - g^{ab} \partial_a \varphi \partial_b \varphi + 2 \right].$$

✓ Janus解: AdS₂ スライスを伴う古典解 [Bak-Gutperle-Hirano, 03, 07]

$$ds^{2} = f(\mu)(d\mu^{2} + ds_{AdS_{2}}^{2}), \quad \varphi = \varphi(\mu).$$

 $-\mu_{0} \le \mu \le \mu_{0},$

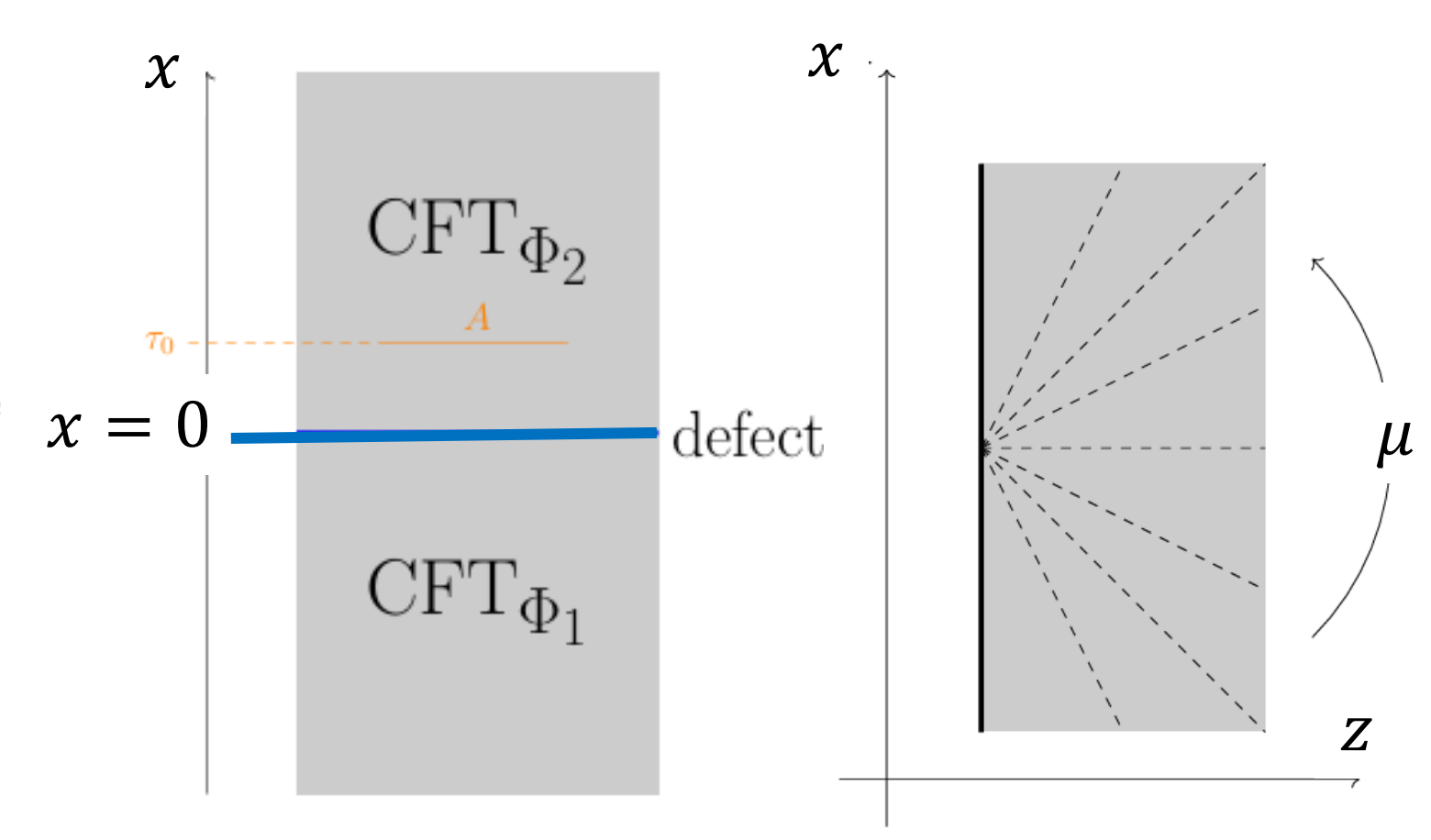
Janus解とinterface CFT

- ✓AdS₂ のisometry = 半分の共形対称性⇒Interface CFT
- ✓AdS2計量の選び方で様々な物理を表すことができる
- ✓ チョイス①Poincaré AdS_2 ⇒Interface CFT on the plane

$$ds_{\mathrm{AdS}_2}^2 = \frac{dx^2 + d\xi^2}{\xi^2}$$

$$\mathcal{L} = \mathcal{L}_{CFT} + \underline{\gamma} \mathcal{L}_{interface} \quad x = 0$$

Interfaceの結合定数



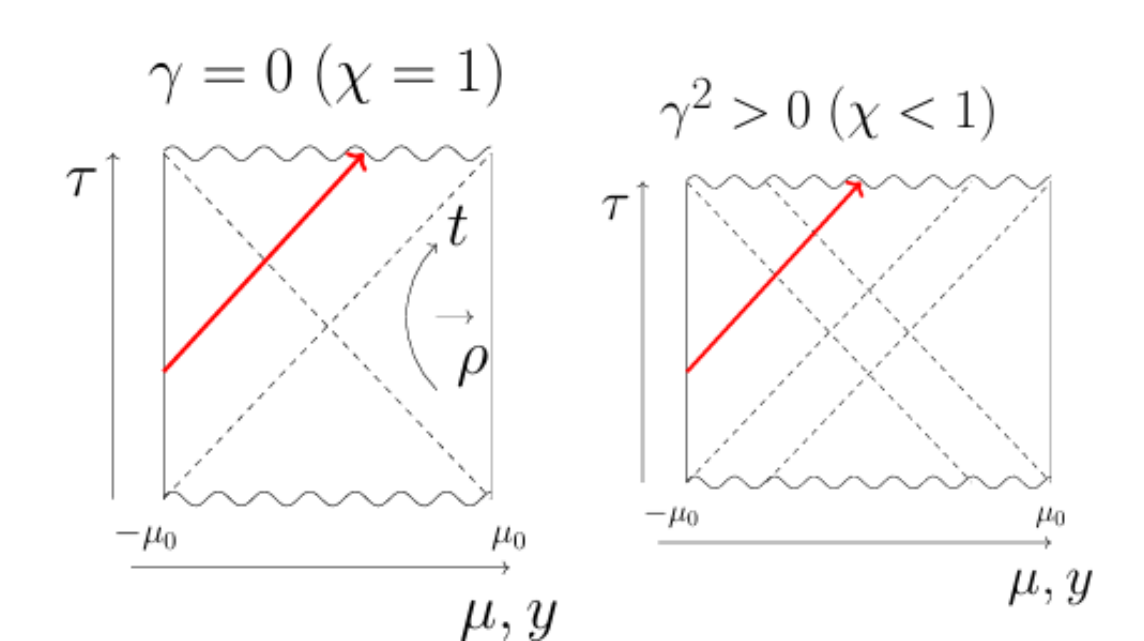
時間依存したJanus解

チョイス②AdS₂ ブラックホール[Bak-Gutperle-Hirano; 07]

$$ds_{AdS_2}^2 = -d\tau^2 + r_0^2 \cos^2 \tau d\theta^2, \quad (-\frac{\pi}{2} \le \tau \le \frac{\pi}{2}).$$

 $\checkmark \gamma = 0 \rightarrow$ 普通のAdS₃ ブラックホール

 $\checkmark 0 < \gamma < \gamma_c \rightarrow$ 境界の場所の μ_0 パラメータが大⇒境界が離れる



Imaginary Janus解と通行可能なワームホール

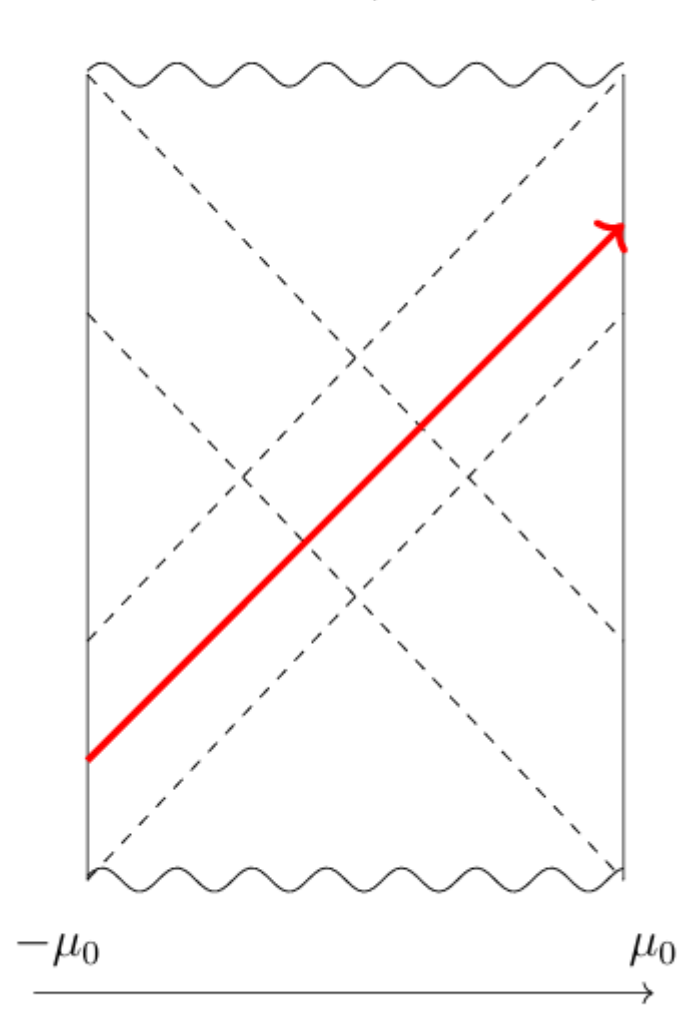
 \checkmark パラメータを虚数にする $\gamma^2 < 0$ or $\chi > 1$.

✓すると通行可能なワームホールが登場!

[TK, Maeda, Nakamura, Takayanagi; 24]

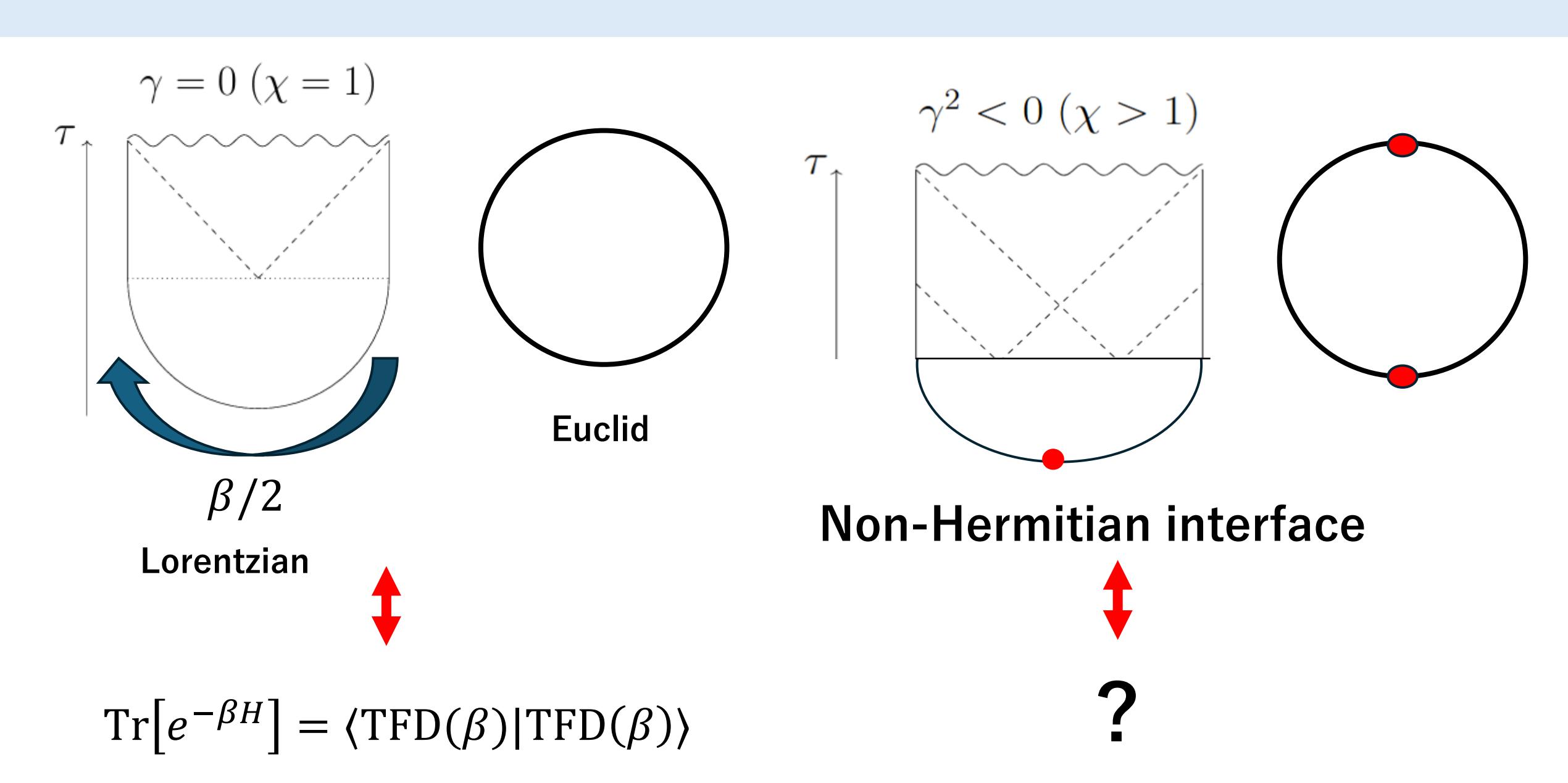
- ✓二種類な理解の仕方
- μ₀が小さくなる
- ⇒境界が近づく
- Dilaton場が純虚数
- ⇒エネルギー条件を破る $T_{ab}^{\varphi} = \frac{1}{2} (\nabla^a \varphi \nabla^b \varphi g^{ab} (\nabla^c \varphi \nabla_c \varphi))$

$$\gamma^2 < 0 \; (\chi > 1)$$



境界からの見方とエントロピー

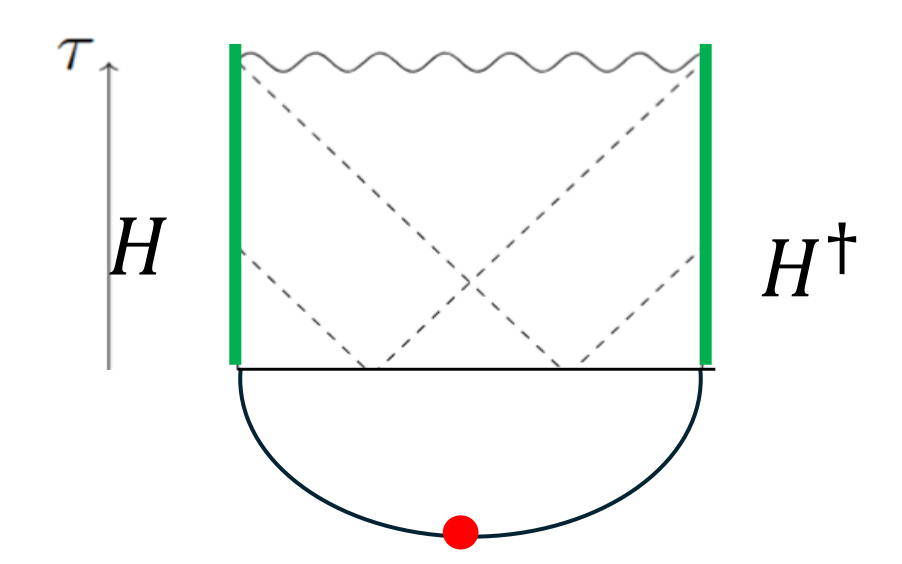
- TK, Nakamura, Maeda and Takayanagi, arXiv: 2502.03531
- J. Harper, TK, Nakamura, Maeda and Takayanagi on-going



✓左右の境界のCFT

$$H_{\text{CFT}_{(1/2)}} = H_{\text{undeformed CFT}_{(1/2)}} \pm \gamma V$$

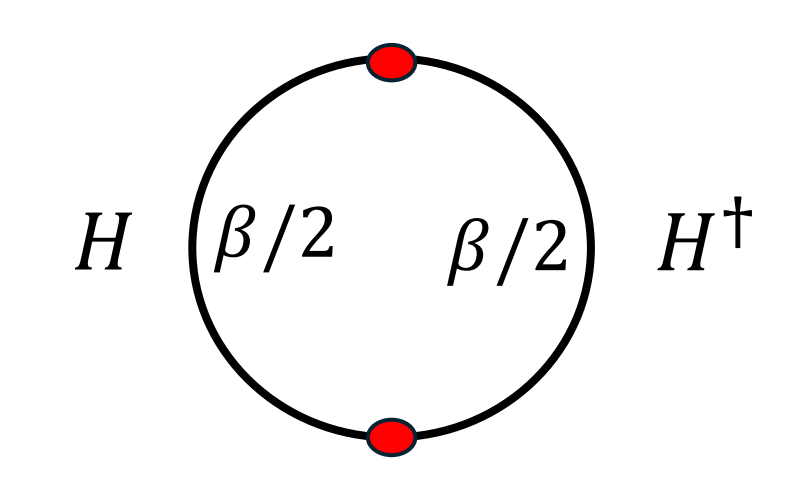
$$\forall \gamma \in i \mathbb{R}$$
のとき
 $H_{CFT_1} = H, H_{CFT_2} = H^{\dagger},$

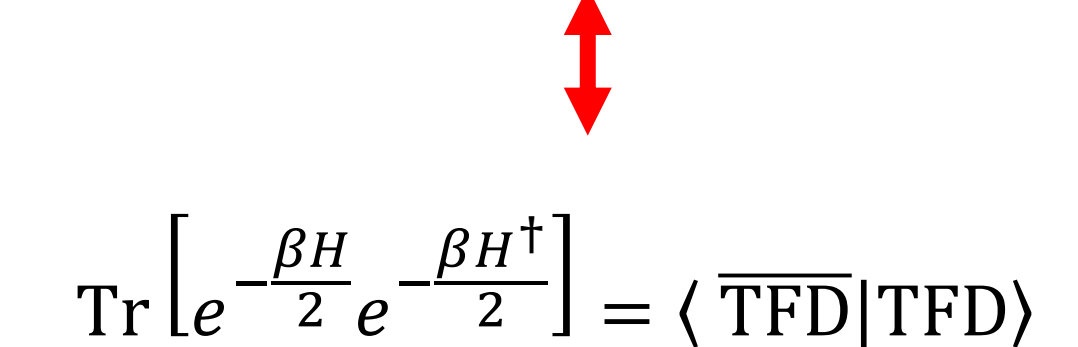


✓左右の境界のCFT

$$H_{\text{CFT}_{(1/2)}} = H_{\text{undeformed CFT}_{(1/2)}} \pm \gamma V$$

$$√γ ∈ i ℝのとき$$
 $H_{CFT_1} = H, H_{CFT_2} = H^{\dagger},$





✓左右の境界のCFT

$$H_{\text{CFT}_{(1/2)}} = H_{\text{undeformed CFT}_{(1/2)}} \pm \gamma V$$

$$\checkmark \gamma \in i \mathbb{R}$$
のとき
 $H_{CFT_1} = H, H_{CFT_2} = H^{\dagger},$

$$|{
m TFD}
angle = \sum e^{-rac{eta}{4}H} \otimes e^{-rac{eta}{4}H^\dagger} \left| E_n^{(r)}
ight
angle \left| E_n^{(r)}
ight
angle$$
 一右固有ベクトル

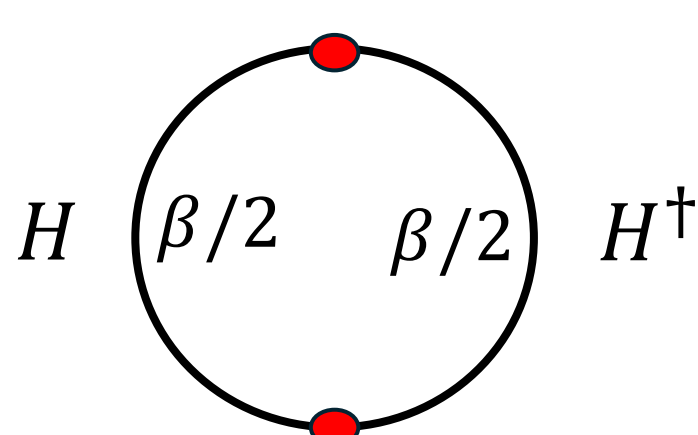
$$\left\langle \overline{\text{TFD}} \right| = \sum \left\langle E_n^{(l)} \middle| \left\langle E_n^{(l)} \middle| e^{-\frac{\beta}{4}H} \otimes e^{-\frac{\beta}{4}H^{\dagger}} \right\rangle$$
 った固有ベクトル



$$(|\text{TFD}\rangle)^{\dagger} \neq \langle \overline{\text{TFD}}|$$

$$\longrightarrow$$
 $| ext{TFD}
angle \langle \overline{ ext{TFD}}|$ は非エルミート

$$\operatorname{Tr}\left[e^{-\frac{\beta H}{2}}e^{-\frac{\beta H^{\dagger}}{2}}\right] = \langle \overline{\text{TFD}}|\overline{\text{TFD}}\rangle$$



熱力学エントロピー

- ✔ 熱力学エントロピー=カノニカル分布の von Neumann エントロピー = TFD状態のエンタングルメントエントロピー
- ✓ 今のセットアップで

$$|\mathrm{TFD}\rangle\,\langle\overline{\mathrm{TFD}}|$$

$$\rho_2 = \frac{1}{Z(\beta)} e^{-\frac{\beta}{4}H^{\dagger}} e^{-\frac{\beta}{2}H} e^{-\frac{\beta}{4}H^{\dagger}}$$

非エルミート密度演算子

物理量:熱力学エントロピー

- ✓ 熱力学エントロピー=カノニカル分布の von Neumann エントロピー = TFD状態のエンタングルメントエントロピー
- ✓ 今のセットアップで

$$\left| {
m TFD} \right
angle \left\langle {
m \overline{TFD}} \right|$$
 $ho_2 = \frac{1}{Z(eta)} e^{-rac{eta}{4}H^\dagger} e^{-rac{eta}{2}H} e^{-rac{eta}{4}H^\dagger}$
部分トレース 非エルミート密度演算子

- ✓ 非エルミート密度演算子のvon Neumannエントロピーは **擬エントロピー(PE)**と呼ばれる⇒EEの"弱値"への一般化
- ✓ AdS/CFT対応でPEもRT公式で計算される [Nakata, Takayanagi, Taki, Tamaoka, Wei; '20]

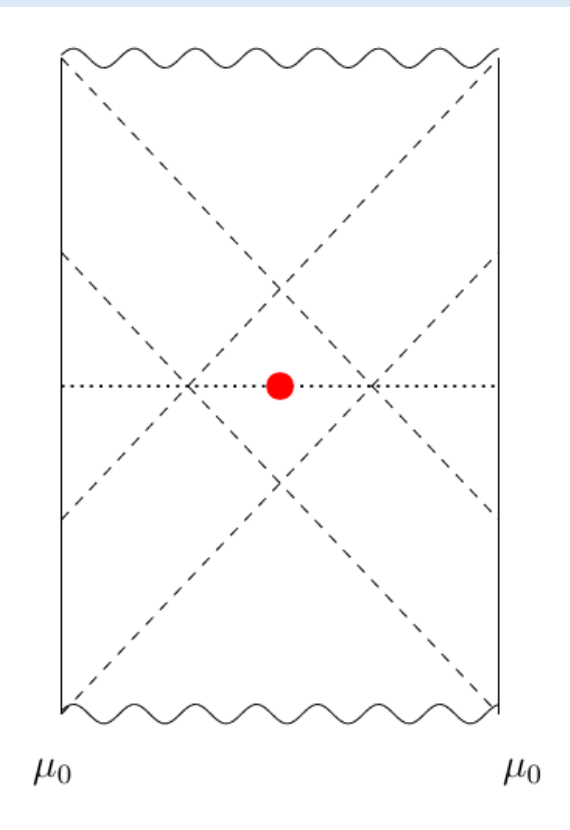
通行可能ワームホールのエンタングルメントは擬エントロピーで測られる

熱力学エントロピー

 \checkmark Formula minimal area surface S[A]

$$S[\rho_2] = \operatorname{Ext}\left[\frac{\operatorname{Area}}{4G_N}\right]$$

$$S[\rho_2] = \frac{2\pi r_0 f(0)}{4G_N} = \frac{\pi}{6} c r_0 \left(1 + \sqrt{1 - \gamma^2} \right)$$

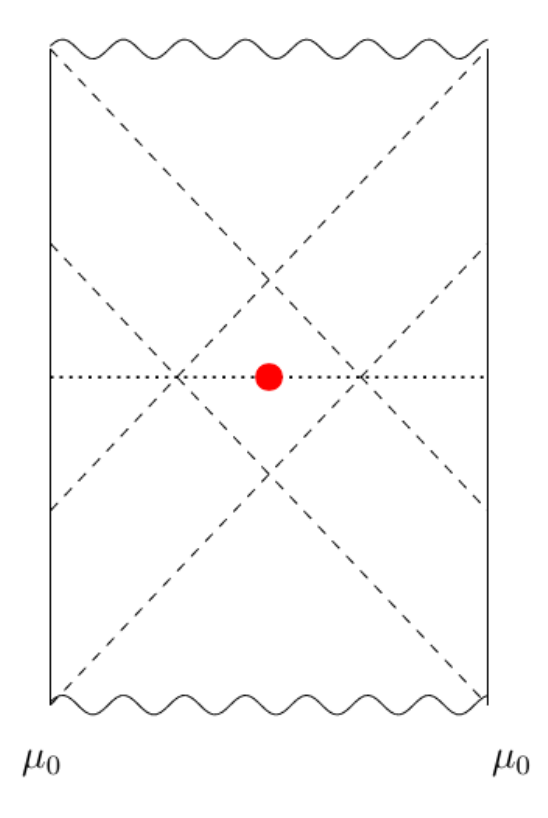


熱力学エントロピー

✓ Formula minimal area surface

$$S[\rho_2] = \operatorname{Ext}\left[\frac{\operatorname{Area}}{4G_N}\right]$$

$$S[\rho_2] = \frac{2\pi r_0 f(0)}{4G_N} = \frac{\pi}{6} c r_0 \left(1 + \sqrt{1 - \gamma^2}\right)$$



Trの巡回性

より実

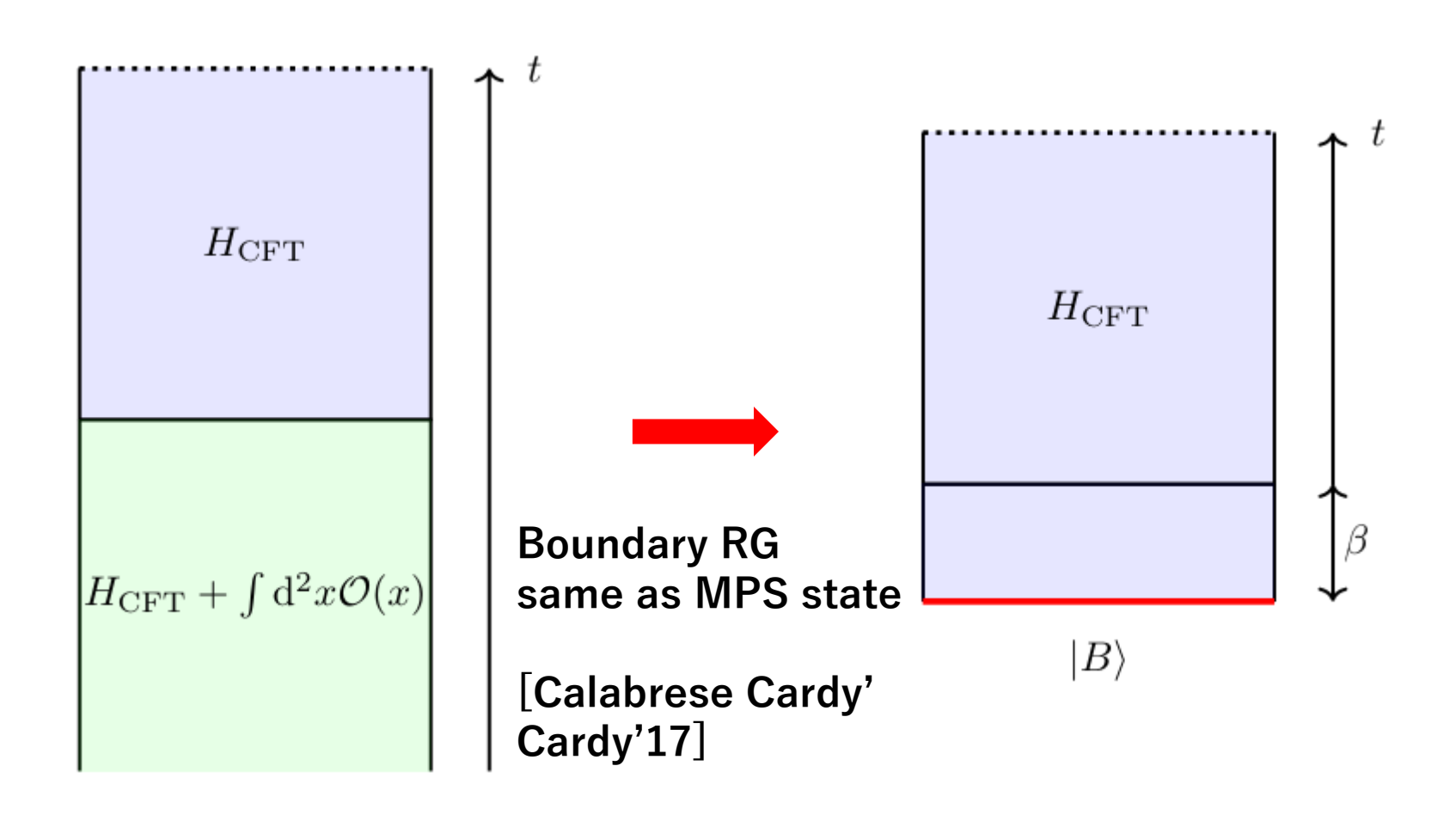
- $\checkmark \gamma^2 < 0$ を負に大きくすればPEは任意に大⇒PEの特徴
- ✓ 密度演算子は非エルミートだがPEは今は実数
- [J. Harper, TK, N.Nakamura, R.Maeda and T.Takayanagi]

$$S[\rho_2] = \lim_{n \to 1} \frac{1}{1 - n} \log \frac{\operatorname{Tr}\left[\left(e^{-\frac{\beta H}{2}} e^{-\frac{\beta H^{\dagger}}{2}}\right)^n\right]}{\operatorname{Tr}\left[e^{-\frac{\beta H}{2}} e^{-\frac{\beta H^{\dagger}}{2}}\right]^n}$$

Interpretation for non-Hermitian interface

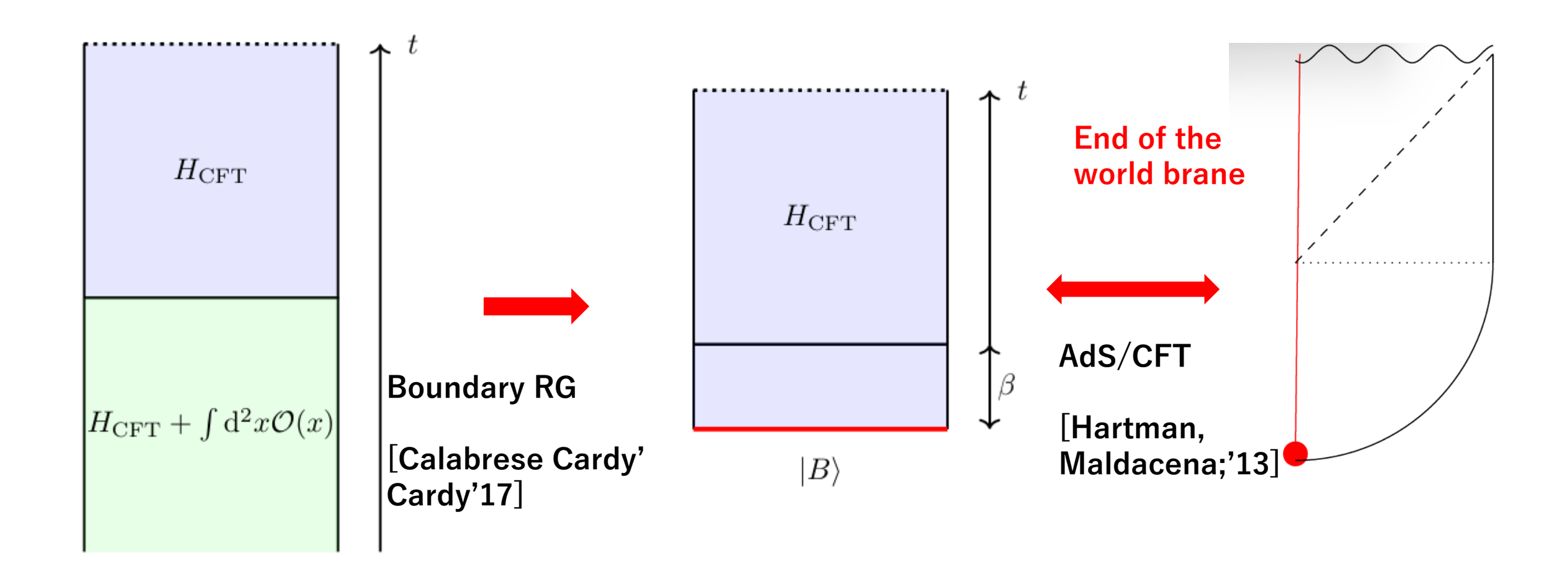
- TK, Nakamura, Maeda and Takayanagi, arXiv: 2502.03531
- J. Harper, TK, Nakamura, Maeda and Takayanagi on-going

Quantum quench in CFT



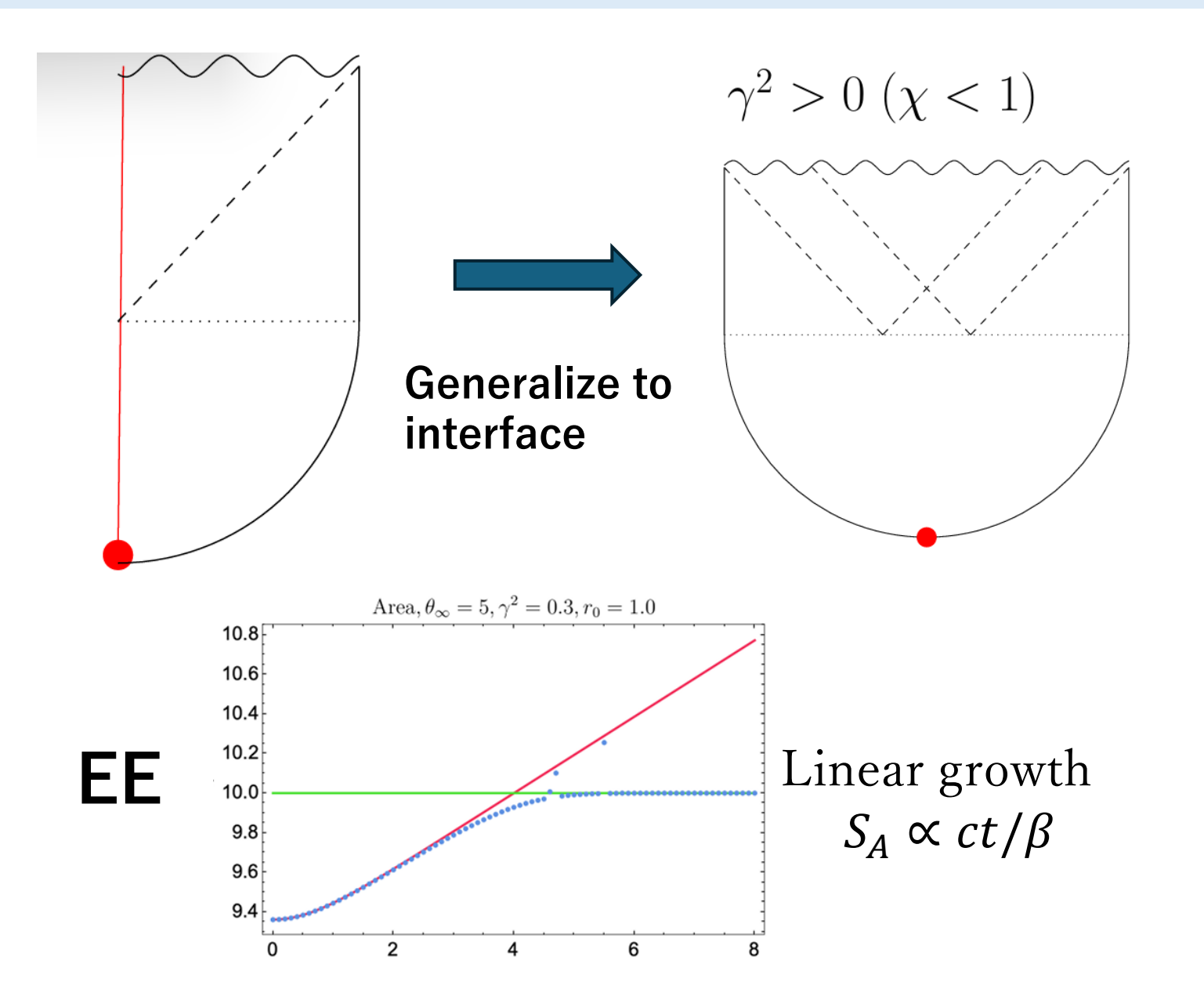
$$|\psi(t)\rangle = e^{-iH_{\text{CFT}}t} |0_{\text{gapped}}\rangle \qquad |\psi(t)\rangle = e^{-iH_{\text{CFT}}t} e^{-\frac{\beta}{4}H_{\text{CFT}}} |B\rangle$$

Quantum quench in CFT

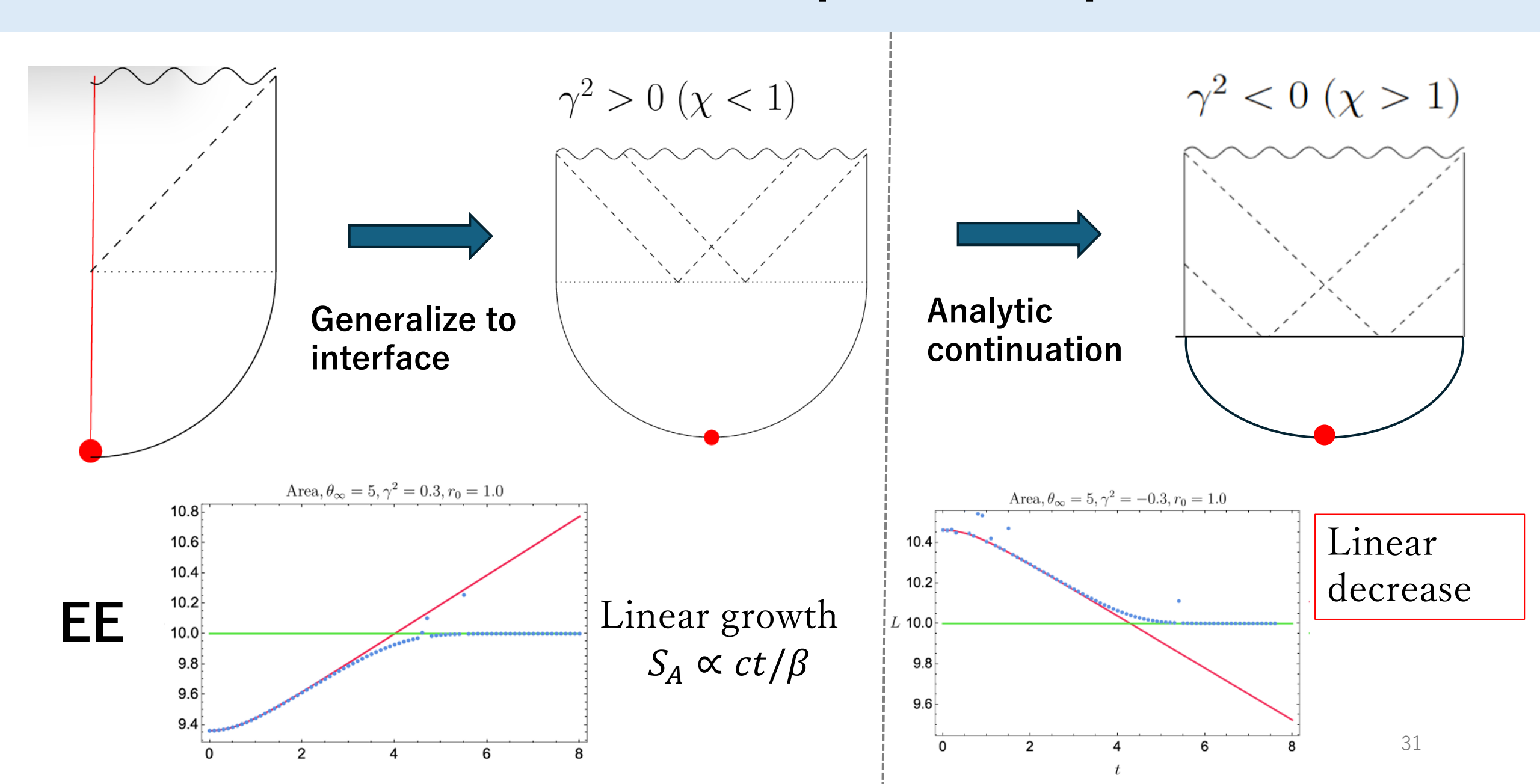


$$|\psi(t)\rangle = e^{-iH_{\text{CFT}}t} |0_{\text{gapped}}\rangle \qquad |\psi(t)\rangle = e^{-iH_{\text{CFT}}t} e^{-\frac{\beta}{4}H_{\text{CFT}}} |B\rangle$$

Non-Hermitian interface as quantum quench

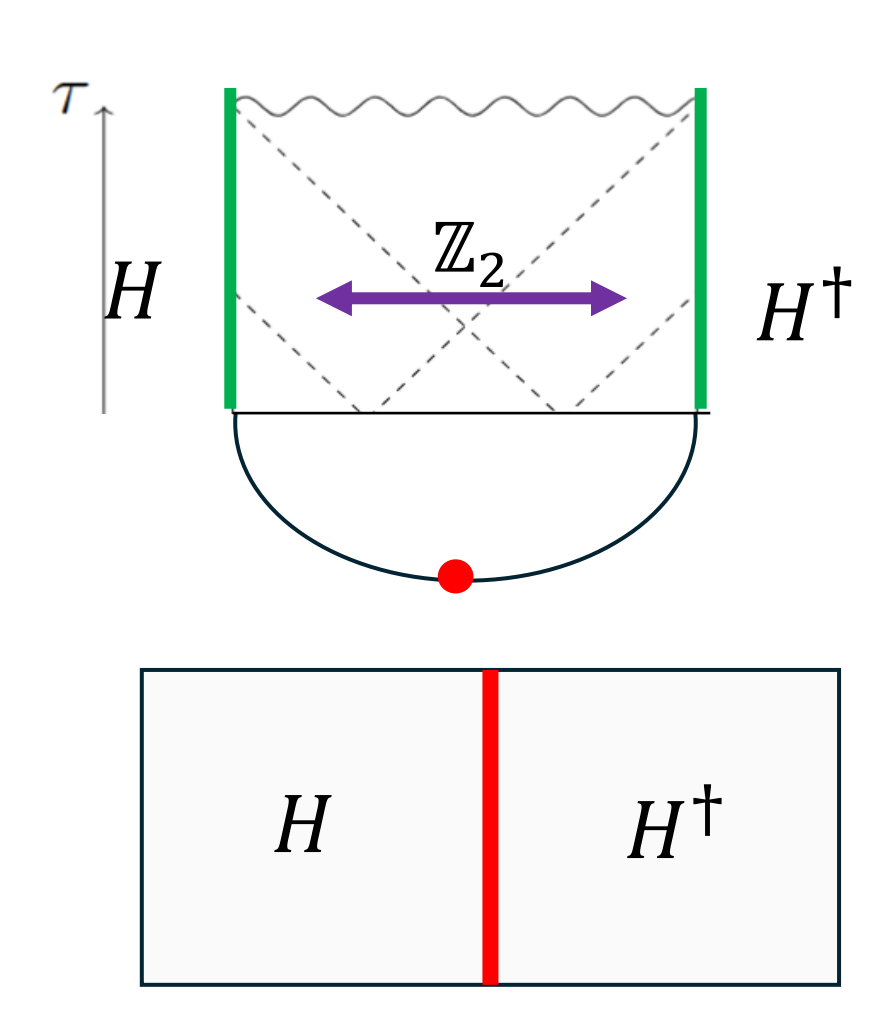


Non-Hermitian interface as quantum quench



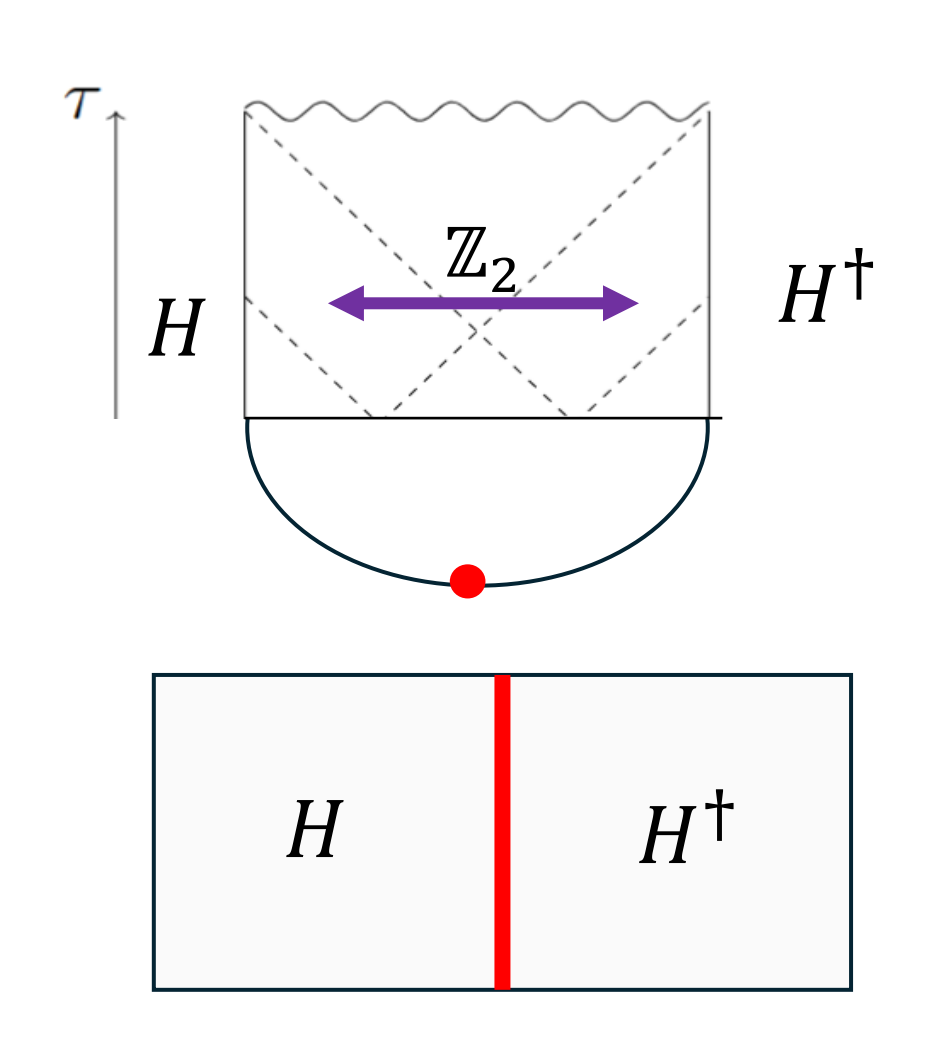
Another characterization on interface?

- ✓非エルミートinterfaceは *H* and *H*[†] CFTsを interpolate
- ✓バルクからKMS 的な対称性が左右のCFT にあるはず (at least ℤ₂ symmetry)



Another characterization on interface?

- ✓非エルミートinterfaceは *H* and *H*[†] CFTsを interpolate
- ✓バルクからKMS 的な対称性が左右のCFT にあるはず (at least ℤ₂ isometry)
- ✓KMSをmodular conjugationだと思うと pseudo Hermitianほい変換になりそう
- ✓この変換をある種の双対変換だと思うと interfaceはduality defectだと思える?
- ✓ We may discuss in some simple model compact boson R_1 and $R_2 = R_1^*$



 $JHJ^{-1} = H^{\dagger}$ duality defect?

まとめ

- ✓ imaginary couplingのJanus変形でback-reactionのある通行可能 ワームホールが具体的に作れる
- ✓通行可能なワームホールには非エルミートな密度行列が表れる
- ✓ワームホール解は実の擬エントロピーを持つ
- ✔Non-Hermite interfaceはある種のquantum quench
- ✔Non-Hermite interfaceはある種のduality defect ?(本当か?)

ご清聴ありがとうございました

FINDINGS: TWO TYPE OF WORMHOLE

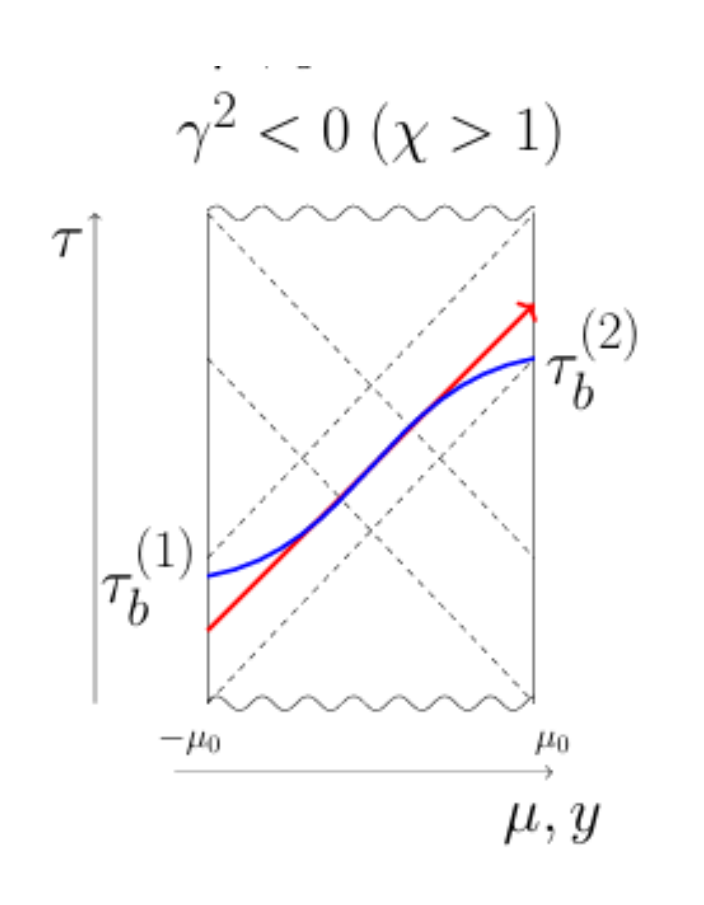
- ✓ We find there are two types of wormhole in AdS via concrete CFT deformations
- 1. Model A: via Janus deformation
- 2. Model B: Via non-local double trace or TT bar deformation:
- ✓ With quantum circuit like understating there are completely different path integrals and distinguished by entanglement entropy (not in my talk)

Thermofield double Model A (Janus) Model B (Double trace $|\Psi\rangle$ A

B $|\Psi\rangle$ B $|\Psi\rangle$ $|\Psi\rangle$ $|\Psi\rangle$ $|\Psi\rangle$ $|\Psi\rangle$

Imaginary Janus解と通行可能なワームホール

- ✓二つの部分系のエンタングルメントを考える
- ✓ある有限時間でPEがゼロになる



測地線距離

